

# تحلیل هندسی و جنبشی گسل‌های عرضی در ناحیه دشت بو (جنوب باختر دامغان)

الله طاهری<sup>۱</sup>، پرویز امیدی<sup>۲\*</sup> و عزیزاله طاهری<sup>۳</sup>

<sup>۱</sup> کارشناسی ارشد، دانشکده علوم زمین، دانشگاه شهرورد، شهرورد، ایران

<sup>۲</sup> استادیار، دانشکده علوم زمین، دانشگاه شهرورد، شهرورد، ایران

<sup>۳</sup> استاد، دانشکده علوم زمین، دانشگاه شهرورد، شهرورد، ایران

تاریخ پذیرش: ۱۳۹۴/۰۲/۲۰ تاریخ دریافت: ۱۳۹۳/۰۹/۱۸

## چکیده

در این پژوهش، ارتباط هندسی و جنبشی گسل‌های طولی و عرضی بخش کوچکی از البرز خاوری، در ناحیه دشت بو (جنوب باختر دامغان) مورد مطالعه قرار گرفته است. گسل‌های طولی شامل گسل‌های صبور، مهاب و میلا، روند شمال خاوری-جنوب باختری دارند؛ در حالی که گسل‌های عرضی مانند چشم‌های فلقل، شمال‌توبه و دشت بو روند تقریبی شمالی-جنوبی دارند. گسل‌های عرضی پیامد راندگی روی گسل‌های طولی هستند که به صورت گسل پاره (Tear Fault) در فرادیواره تشکیل شده‌اند. این دو دسته گسل با یکدیگر همبستگی هندسی و سینماتیک دارند؛ به گونه‌ای که گسل‌های طولی را می‌توان به عنوان گسل انتقالی (Transfer Fault) برای گسل عرضی در نظر گرفت. جنبش در راستای گسل‌های عرضی به صورت جهش جانبی (lateral ramp) به گسل‌های طولی منتقل می‌شود و پایان می‌یابد.

**کلیدواژه‌ها:** گسل عرضی، گسل طولی، ارتباط هندسی و جنبشی، گسل جهش جانبی، دشت بو.

E-mail: pomidy@yahoo.com

\*نویسنده مسئول: پرویز امیدی

## ۱- پیش‌نوشتار

منطقه دشت بو، در انتهای شمالی دره تویه دروار (جنوب باختر شهرستان دامغان) و در نیمه جنوبی البرز خاوری، میان طولهای خاوری ۵۳°۴۴' تا ۵۱°۵۱' و عرضهای ۳۶°۰۰' تا ۳۶°۶۰' شمالی قرار دارد. راههای دسترسی به منطقه، جاده اصلی دامغان-سمنان و راههای متنهی به روستاهای دره تویه دروار- دشت بو است (شکل ۱). روند چین خوردگی‌ها و راستای گسل‌ها در البرز از WNW در باختر به ENE در خاور تغییر می‌کند و گسل‌های راستالغز چپ گرد مشخصی در امتداد این رشته کوه دیده می‌شود (Axen et al., 2001). از مهم‌ترین گسل‌های طولی در البرز خاوری که از راستای کلی شمال خاوری- جنوب باختری پیروی می‌کنند می‌توان به گسل کواترنری آستانه، گسل کواترنری شمال دامغان و گسل بادله اشاره کرد. یکی از خاصه‌های رشته کوه البرز، وجود گسل‌هایی با راستای کلی شمالی- جنوبی است. در البرز خاوری از جمله در منطقه مورد مطالعه همانند دیگر بخش‌های رشته کوه البرز، افزون بر گسل‌های طولی که هم راستای البرز خاوری هستند، گسل‌های عرضی نیز حضور دارند که در فرایند گریختی البرز نقش دارند. برخی گسل‌های عرضی موجود در البرز خاوری، محدود به گسل‌های طولی هستند و به صورت مورب نسبت به آنها قرار گرفته‌اند که طول آنها در مقایسه با گسل‌های طولی به نسبت کمتر است. از جمله این گسل‌ها می‌توان به گسل غزنوی (جنوب روستای غزنوی در منطقه خوش‌یلاق) و گردنه آهوان (شمال خاور سمنان) اشاره کرد (شکل ۲). این پژوهش که بخشی از دستاوردهای پایان‌نامه کارشناسی ارشد نگارنده است، گسل‌های مهاب و میلا را به عنوان گسل‌های طولی و گسل‌های شمال‌توبه، چشم‌های فلقل و دشت بو را به عنوان گسل‌های عرضی در منطقه، مطالعه و شناسایی نموده و ارتباط هندسی و جنبشی میان این دو دسته گسل را به عنوان مهم‌ترین هدف این مطالعه بررسی کرده است. در نتیجه، چنانچه تحلیل ساختاری دقیق و کاملی در منطقه انجام شود، این امکان وجود دارد که دیدگاهی دقیق‌تر در ارتباط با زمین‌شناسی البرز خاوری و شناخت ارتباط ساختمانی محدوده مورد مطالعه با مناطق مجاور مهیا شود. همچنین دستاوردهای این گونه پژوهش‌ها می‌تواند در مطالعات مرتبط با ارزیابی توان لرزه‌زا بی‌گسل‌ها، لرزه‌خیزی و لرزه‌زمین ساخت به عنوان اطلاعات پایه مورد استفاده قرار گیرد. تصویر ماهواره‌ای گسل‌های منطقه در شکل ۳ آورده شده است.

## ۲- روش پژوهش

این پژوهش بر پایه مطالعات انجام شده پیشین، به ویژه نقشه زمین‌شناسی کیاسر (اکبرپور و سعیدی، ۱۳۷۱)، مطالعات سنجش از دور و دستاوردهای صحرایی نوشته شده است. برای تحلیل ساختاری گسل‌های منطقه، شواهد چینه‌نگاری و ریخت شناسی سطح گسل مانند خراش‌های گسلی، پله‌های سطح گسل، شکستگی‌های کششی و درزهای هلالی به کار گرفته شده‌اند. همچنین به منظور شناسایی گسل‌های پی‌سنگ منطقه، از نقشه هوامغناطیس با بلل با مقیاس ۱:۲۵۰۰۰ استفاده شد.

## ۳- موقعیت زمین‌شناسی منطقه

محدوده مورد مطالعه، بخشی از نیمه جنوبی البرز خاوری در جنوب باختر شهرستان دامغان است و سنگ‌های موجود در منطقه مطالعاتی، به جزء توده‌های نفوذی کوارتز‌دیوریتی، به طور کامل از سنگ‌های رسوبی هستند. بر پایه دستاوردهای مطالعات پیشین، به ویژه نقشه‌های زمین‌شناسی چاپ سازمان زمین‌شناسی و اکتشافات معدنی کشور مانند نقشه ۱:۱ کیاسر (اکبرپور و سعیدی، ۱۳۷۱) و مشاهدات صحرایی نگارنده، رخنمونی از سازندهای پر کامبرین و پالئوزویک در منطقه مطالعاتی دیده نمی‌شود. سازندهای مزوژویک مانند سازندهای الیکا، شمشک، دلیچای، لار، آهک‌های کرتاسه و واحدهای سنوژوییک شامل سازندهای فجین، کرج و زیارت و نهشته‌های آواری و پلایای نئوژن و کواترنری در منطقه رخنمون و گسترش دارند. روندهای ساختاری منطقه (روند چین خوردگی‌ها و گسل‌ها) از دستاوردهای این پژوهش در نقشه زمین‌شناسی (شکل ۴) نشان داده شده است.

## ۴- گسل‌های طولی

### ۴.۱. گسل میلا

گسل میلا با طول تقریبی ۳۰ کیلومتر در بخش جنوبی منطقه مطالعاتی قرار گرفته است. این گسل دارای موقعیت هندسی  $SE, 78^{\circ} E, 57^{\circ} SE$  است و رانده شدن سازندهای آهکی الیکا (تریاس) و لار (ژواراسیک بالایی) در فرادیواره روی مارن‌های سازند کرج (ائوسن) در فرودیواره همراه با خش لغزه‌های باریک ۸۵ درجه ساعت گرد روی فرادیواره، نشان از سازوکار وارون همراه با مؤلفه کوچک امتدالغز چپ برای

در تصاویر برداشته شده از رخنمون‌ها نشان داده شده است (شکل ۱۰). همیری سازند آهکی الیکا (تریاس) در فرادیواره گسل تویه با سازند کنگلومراپی فجن (پالئوسن) در فرودیواره در بخشی از درازای گسل ( نقطه A در شکل ۹ ) نشان از وارون بودن مؤلفه شبیل‌لغز گسل دارد. تتفیق نشانه‌های چینه‌نگاری با نشانه‌های حرکتی سطح گسل از جمله خراش‌های گسلی، پله‌های سطح گسل و اثر شکستگی‌های کششی روی آن، سازوکار گسل را به صورت وارون همراه با مؤلفه راستالغز راست بر نشان می‌دهند (شکل ۱۰).

## ۵-۲. گسل چشم‌های قلق

گسل چشم‌های قلق با طول تقریبی ۶ کیلومتر، یکی دیگر از گسل‌های عرضی منطقه با موقعیت هندسی SW ۷۰°E, ۴۵°S است که شواهد صحرایی از جمله برش گسلی، خراش‌های گسلی با ریک ۴۵ و پله‌های سطح گسل، سازوکار این گسل را به صورت وارون همراه با مؤلفه راستالغز راست بر نشان می‌دهند (شکل ۱۱).

## ۵-۳. گسل دشت‌بو

گسل دشت‌بو با طول تقریبی ۴ کیلومتر و موقعیت هندسی چیره N ۱۵°E, ۷۲°E یکی از مهم‌ترین گسل‌های عرضی منطقه است که تأثیر بسیاری در دگریختن سوزوویک منطقه داشته است. بهترین رخنمون گسل دشت‌بو را در حاشیه جاده دشت‌بو - فولاد محله می‌توان دید که سازند فجن را در کنار سازند زیارت قرار داده است. آنچه که در مورد گسل دشت‌بو اهمیت دارد، موقعیت‌های متفاوت دو سازند زیارت و فجن (فجن: NW ۵۰°E, ۲۵°S و زیارت: E ۴۰°SE, N ۷۵°) در دو سوی سطح این گسل است (شکل ۱۲-الف). در محل برش الگو، کنگلومراپی فجن به طور ناپیوسته سنگ‌آهک کرتاسه زیرین را می‌پوشاند و در بالا با سازند زیارت به صورت همیشی است (آقاباتی، ۱۳۸۳). ولی در این رخنمون دو یال یک ناویدیس با دو موقعیت متفاوت توسط گسل موربد بحث در کنار هم قرار گرفته‌اند. گسل دشت‌بو، دو دسته خراش‌گسلی با ریک‌های متفاوت را روی سطح گسلی خود به همراه دارد که نشان‌دهنده دست کم دو مرحله حرکتی روی آن است. با توجه به قطع شدن خراش‌های گسلی با ریک بیشتر توسط خراش‌های گسلی افقی، می‌توان سازوکار کنونی گسل را راستالغز چپ بر معرفی کرد (شکل ۱۲-ج).

## ۶- بحث و نتیجه‌گیری

### ۶-۱. منشاء گسل‌های عرضی

از آنجا که رشته کوه البرز یک کمریند چین خورده - رانده است و امکان جابه‌جایی متفاوت در دو سوی صفحه‌های راندگی این کمریند به دلایل مختلفی همچون تغییر ترکیب سنگ‌شناختی سنگ میزان وجود دارد، گسل‌های عرضی را می‌توان به عنوان گسل‌های پارگی (Tear Fault) مرتبط با صفحه‌های راندگی این رشته کوه در نظر گرفت.

گسل پارگی، نوعی گسل راستالغز فرعی است که در کمریندهای چین و رانده دیده می‌شود که نتیجه پیشروع متفاوت بخش جلویی صفحه رانده یا کوتاه‌شدگی متفاوت آن است (Twiss & Moores, 1992). این گسل‌ها، جابه‌جایی متفاوت در دو سوی خود را امکان‌پذیر می‌کنند و به طور معمول به فرادیواره گسل‌های راندگی محدود می‌شوند و به درون فرودیواره نفوذ نمی‌کنند (قاسمی، ۱۳۸۷). شکل ۱۳ تصویری سبعده از ارتباط گسل‌های پارگی و صفحه‌های راندگی را نشان می‌دهد. در منطقه مطالعاتی، سوی راندگی‌ها به سوی شمال است و گسل چشم‌های قلق به صورت یک گسل پارگی راست بر رفتار کرده و در نتیجه آن بلوک باختربی پیشروع بیشتری نسبت به بلوک خاوری، رو به شمال داشته است.

همان‌گونه که در شکل ۱۴ دیده می‌شود، میزان اختلاف مکانی در دو سوی دره تویه دروار توسط گسل پارگی چشم‌های قلق که بر راندگی گسل مهتاب اثر کرده ۴۷۰۰ متر است. گسل‌های شمال تویه و دشت‌بو با تأخیر به مجموعه بالا افزوده شده‌اند.

گسل میلا دارد. در شکل ۵، تصاویری از گواه‌های صحرایی گسل میلا شامل پرتوگاه گسلی، نشانه‌های ریخت‌شناصی سطح گسل، نیمرخ نمادین و استریوگرام داده‌های آن نشان داده شده است.

## ۴-۲. گسل مهتاب

گسل مهتاب در بخش شمالی منطقه با درازای حدود ۲۷ کیلومتر، با موقعیت هندسی N ۶۳°E, ۶۳°SE، مرز میان دو سازند لار و شمشک را در منطقه مطالعاتی می‌سازد. اگر چه شواهد چینه‌نگاری طبیعی بودن توالی سازند شمشک و سپس لار را نشان می‌دهد ولی برش گسلی، افزار گسلی و خشن‌لغزهای موجود، نشان‌دهنده گسلی بودن این مرز است. مشاهدات صحرایی نشان داد که سازند لار در بلوک فرادیواره و سازند شمشک در فرودیواره قرار دارد؛ ولی ریخت‌شناصی سطح گسل به شدت تحت تأثیر هوازدگی، انحلال و فرسایش قرار گرفته است. به گونه‌ای که هیچ گونه آثار خراش گسلی با ریک بالا باقی نمانده است. ولی وجود سطح گسل خمیده و مواج که شیارهای بزرگ را ایجاد کرده است، خط القعر و خط الارس این خمیدگی نمادی از خشن‌لغزهای بزرگ تر هستند که نشان از چیرگی مؤلفه شبیل‌لغز برای گسل موربد بحث دارند که می‌تواند به صورت وارون یا باعده باشد؛ ولی با توجه به اینکه گسل مهتاب با گسل صبور و آستانه در شمال آن و گسل میلا در جنوب در یک قلمرو ساختاری قرار دارد و وارون بودن مؤلفه شبیل‌لغز گسل‌های شمالی و جنوبی آن آشکار شده است، گسل مهتاب نیز وارون خواهد بود. آنچه که شایان توجه و مهم است دیده نشدن خراش‌های گسلی با ریک بالا و حضور خراش‌های گسلی افقی در سطح این گسل است. خراش‌های گسلی و پله‌های سطح گسل، حرکت چپ بر گسل را برای مؤلفه جدید راستالغز آن آشکار می‌سازد. گسل مهتاب وارون در فاز کهن جنبش و راستالغز چپ بر در فاز جدید است. شکل ۶ تصاویر مرتبط با سطوح گسلی مهتاب به همراه نیمرخ نمادین از این گسل را نشان می‌دهد.

## ۴-۳. گسل کواترنری صبور

گسل صبور با راستای شمال خاوری- جنوب باختربی و شب به سوی جنوب جنوب خاور، سبب رانده شدن واحد شیل و ماسه‌سنگی شمشک (فرادیواره) روی رسوبات کواترنری (فرودیواره) شده است که نشان از وارون بودن مؤلفه شبیل‌لغز گسل دارد. جابه‌جایی چپ بر آبراهه‌ها در میزین این گسل، مؤلفه راستالغز گسل را به صورت چپ بر نشان می‌دهند. میزان جابه‌جایی آبراهه‌ها تقریباً یکسان است ولی میزان دقیق جابه‌جایی در آبراهه A، ۱۰۰ متر، در آبراهه B، ۹۱ متر و در آبراهه C، ۹۳/۴ متر برآورد شده است (شکل ۷-الف). این همانندی جابه‌جایی می‌تواند نشان‌دهنده جابه‌جایی‌ها تحت تأثیر یک مرحله جنبشی باشد. همچنین خطواره‌های گسلی دیگری با طول ۱۵۰۰ متر در شمال گسل صبور در نهشته‌های آبرفتی دیده می‌شود که آبراهه D را به میزان ۷۵ متر به صورت چپ بر جابه‌جا کرده است. تصاویر صحرایی و ماهواره‌ای گسل صبور در شکل ۷ آورده شده است. همچنین سه گسل طولی موجود در منطقه در برش عرضی شکل ۸ نشان داده شده است.

## ۵- گسل‌های عرضی

### ۵-۱. گسل شمال تویه

گسل شمال تویه با موقعیت چیره هندسی SW ۵۸°E, N ۴۶°E یکی از گسل‌های عرضی منطقه است که سازندهای فجن، آهک کرتاسه و لار را در راستای خود قطع و جابه‌جا کرده است. میزان این جابه‌جایی راستالغزی توسط تصویر ماهواره‌ای میان ۳۴۰ متر (بر مبنای جابه‌جایی سازند فجن) تا ۳۷۰ متر (بر پایه جابه‌جایی آهک کرتاسه) برآورد شده است (شکل ۹). آثار روی زمین این گسل را می‌توان در حريم آن و روی سازندهای الاره الیکا، فجن آهک کرتاسه دید. باقیمانده‌هایی از سطح گسل صیقلی شده دارای خشن‌لغز، برشی شدن سنگ‌های بلوک‌های دو سوی سطح گسل

صبور یک گسل کواترنری است، گسل‌های شمال تویه و چشمه‌قلقل رانیز می‌توان گسل کواترنری معرفی کرد.

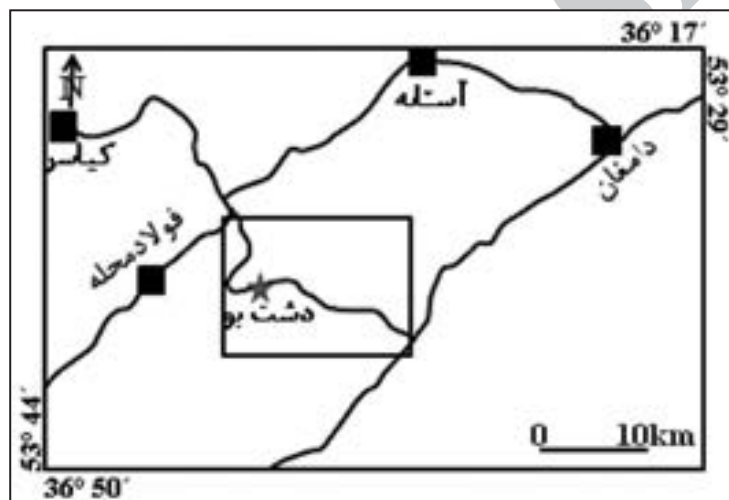
همان‌گونه که در نقشه هوماغناطیس بابل دیده می‌شود (شکل ۱۶)، هیچ خطواره مغناطیسی با روند شمالی-جنوبی که مؤید گسل‌های عرضی منطقه باشد، دیده نمی‌شود. بنابراین، می‌توان این گونه بیان کرد که گسل‌های عرضی موجود در منطقه مطالعاتی و محدوده پیرامون آن از نوع بی‌سنگی نیستند. این موضوع می‌تواند تأییدی بر این باشد که گسل‌های عرضی در منطقه و دیگر نقاط از نوع گسل‌های پارگی و مرتبه با گسل‌های راندگی باشند. همچنین نبود داده‌های لرزه‌ای با ژرفای زیاد در راستای گسل‌های عرضی منطقه، تأییدی بر پی‌سنگی نبودن این گسل‌هاست.

توجه به هندسه و الگوی جنبشی (Kinematic Model) گسل‌های منطقه در بازه نوزمین ساختی و افزودن بردار فشارش در رژیم زمین ساختی جاری به دست آمده از پژوهش‌های جدید همچون (Vernant et al. 2014) نشان داده در شکل ۱۷- و امیدی و همکاران (۱۳۸۱) مؤید الگوی ترافشاری چپ بر در این بخش از البرز خاوری است (شکل ۱۸).

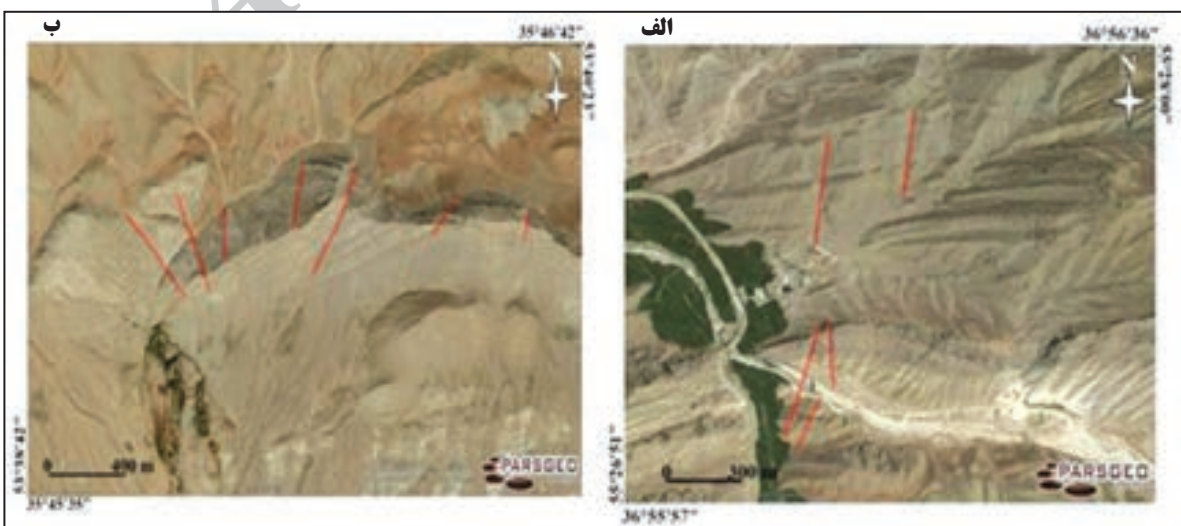
توجه شود که روند دره تویه دروار در این مکان با این گسل‌های عرضی هماهنگی دارد و پس از گسل آستانه، این گسل‌ها به سوی شمال ادامه ندارند.

## ۶-۲. ارتباط هندسی و جنبشی گسل‌های عرضی و گسل‌های طولی

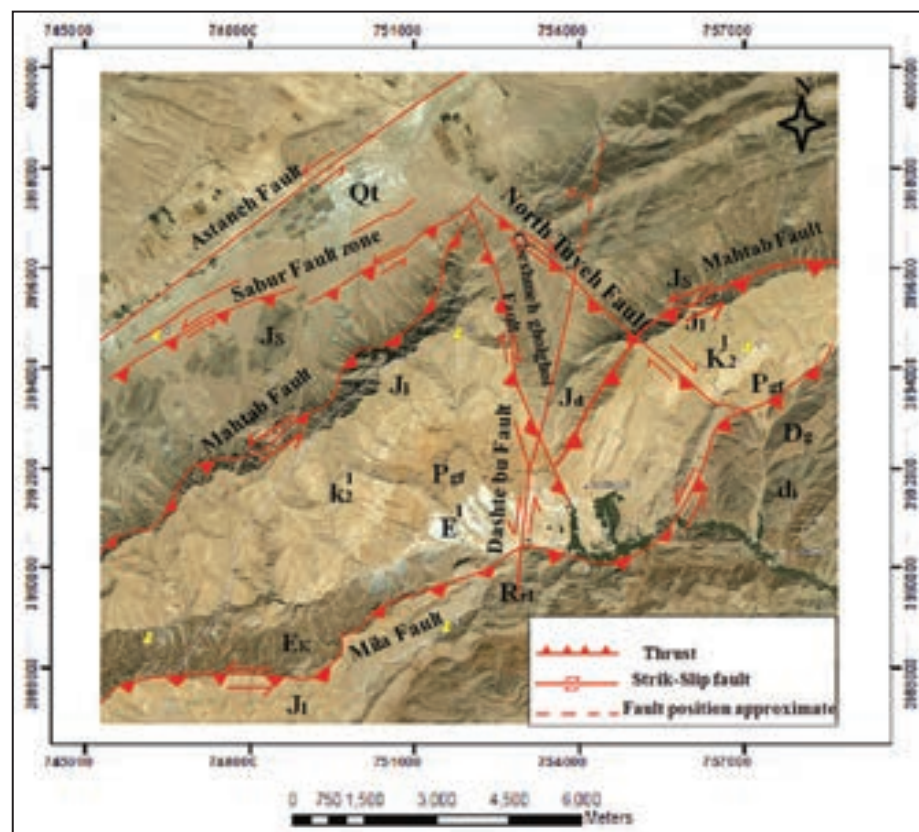
گسل‌های شمال تویه و چشمه‌قلقل با هندسه و سازوکار همانند (راستای کلی شمال باختری-جنوب خاوری و سازوکار وارون همراه با مؤلفه راستالغز راستبر)، در پایانه شمال باختری خود به گسل‌های مهتاب و صبور می‌رسند و مستهلک می‌شوند؛ بدین‌گونه که حرکت چپ بر گسل صبور و مهتاب در پایانه خاوری آنها به پایانه شمال باختری گسل شمال تویه و چشمه‌قلقل انتقال یافته است. بدین ترتیب، گسل صبور و مهتاب را می‌توان گسل انتقالی (Transfer Fault) برای دو گسل عرضی شمال تویه و چشمه‌قلقل در نظر گرفت. همچنین می‌توان این گونه بیان کرد که گسل‌های عرضی، گسل‌های جهش جانبی برای گسل‌های طولی هستند. در نمودار سه بعدی شکل ۱۵، ارتباط هندسی و جنبشی میان گسل‌های موربد بحث نشان داده شده است. با توجه به همبستگی جنبشی این گسل‌ها با یکدیگر و از آنجا که گسل



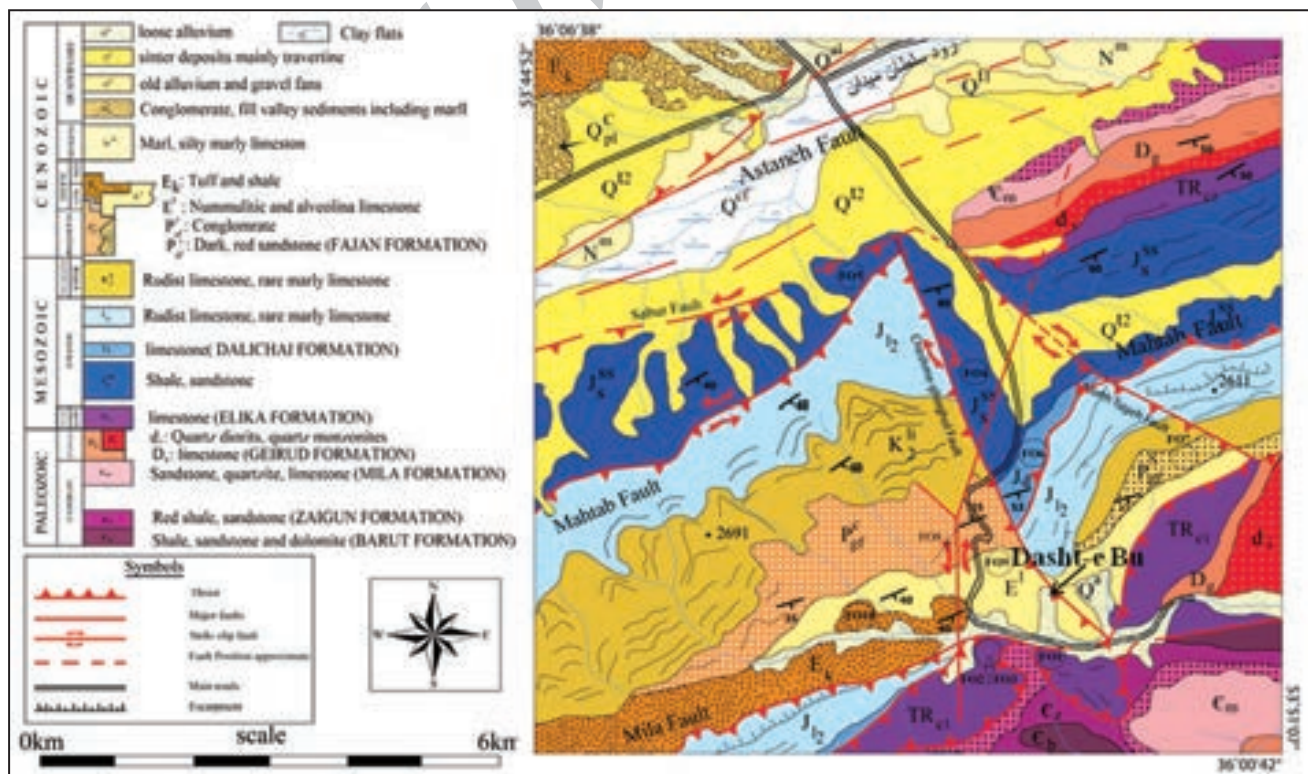
شکل ۱- موقعیت جغرافیایی و راه‌های ارتباطی منطقه مطالعاتی.



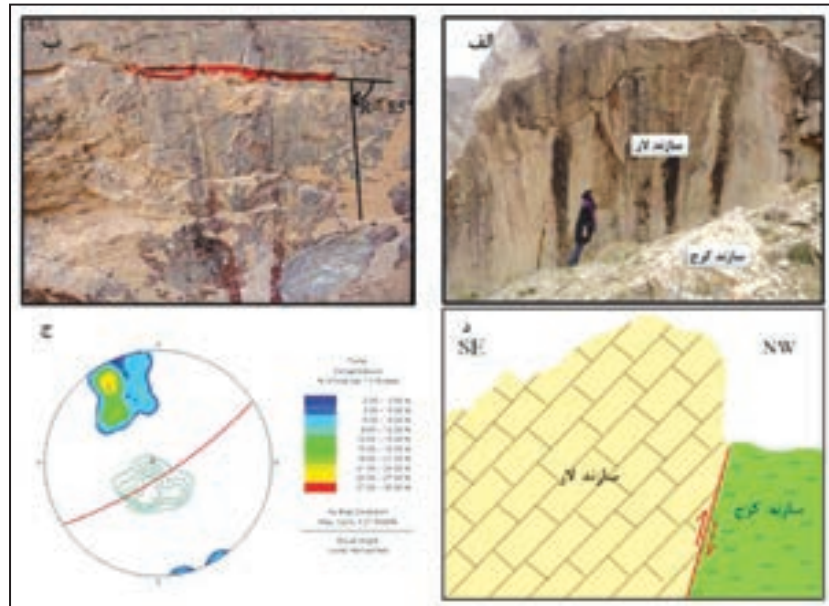
شکل ۲- نمایش نمونه‌ای از گسل‌های عرضی با راستای تقریبی شمالی-جنوبی در البرز خاوری؛ الف) روستای غزنوی (در منطقه خوش‌بیلاق)؛ ب) گردنه آهوان.



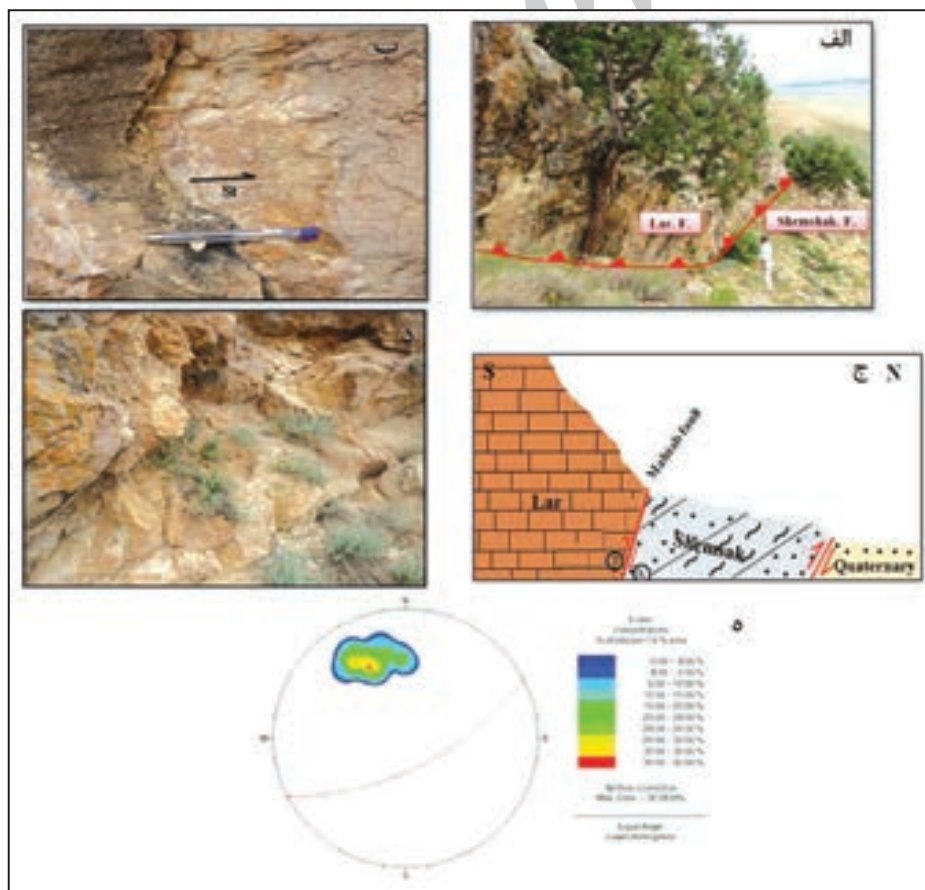
شکل ۳- تصویر ماهواره‌ای منطقه مورد مطالعه (Google earth برگرفته از (Image map) کوتاه‌نوشت سازندها به ترتیب عبارتند از: Qt: کواترنری؛ E:Ek؛ Z: زیارت؛ Pgf: کرج؛ El: کرتاسه؛ K2: شمشک؛ D: دلیچای؛ Al: لار؛ Dg: گیرود؛ di: گوار تردیوریت.



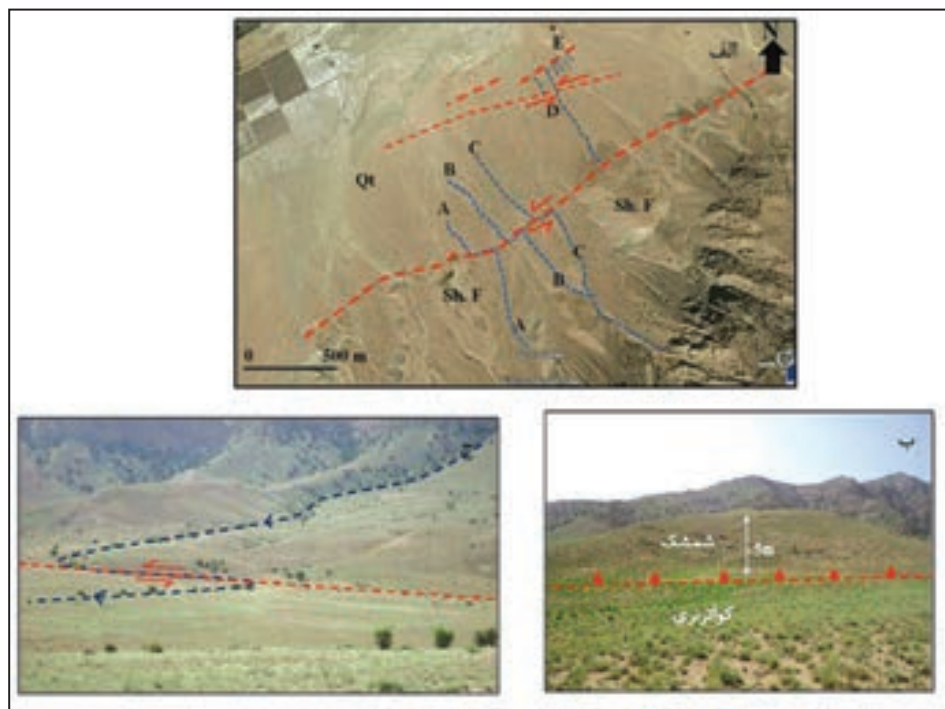
شکل ۴- نقشه زمین‌شناسی تهیه شده از منطقه مورد مطالعه برگرفته از نقشه زمین‌شناسی کیاسر؛ FOها، محل اندازه‌گیری چین‌ها هستند.



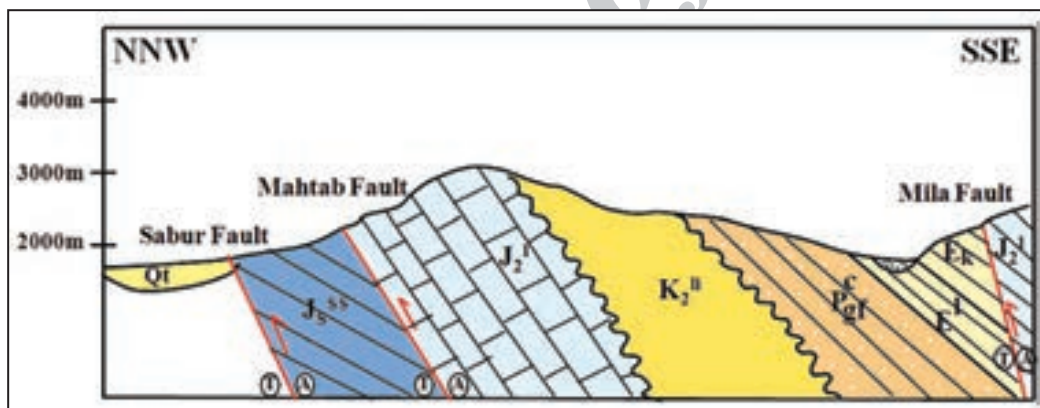
شکل ۵-الف) تصویری از پر تگاه گسل میلا (نگاه به سوی جنوب خاور); ب) تصویری از ریخت شناسی سطح گسل میلا روی فرادیواره که خشن لغز با ریک ۸۵° ساعت گرد را نشان می دهد؛ ج) نیمرخ نمادین از گسل میلا؛ د) نمودار کنتوری از قطب داده ها که روند میانگین و چیره  $57^{\circ}E$ ,  $78^{\circ}SE$  را برای گسل میلا نشان می دهد؛ کنتورهای سبزرنگ متعلق به موقعیت میانگین خراش های گسلی ( $195^{\circ}$ ,  $85^{\circ}$ ) هستند.



شکل ۶-الف) تصویری از پر تگاه گسل مهتاب (نگاه به سوی باخته)؛ ب) تصویری از ریخت شناسی سطح گسل مهتاب روی فرادیواره که خشن لغز افقی و برشی شدن سطح گسل؛ ج) نیمرخ نمادین از گسل مهتاب؛ د) خردشگی سازند لار که در فرادیواره گسل مهتاب قرار گرفته است؛ ه) استریو گرام داده های هندسی گسل مهتاب؛ نمودار کنتوری قطب داده های میانگین  $63^{\circ}E$ ,  $63^{\circ}SE$  را برای گسل مهتاب نشان می دهد.



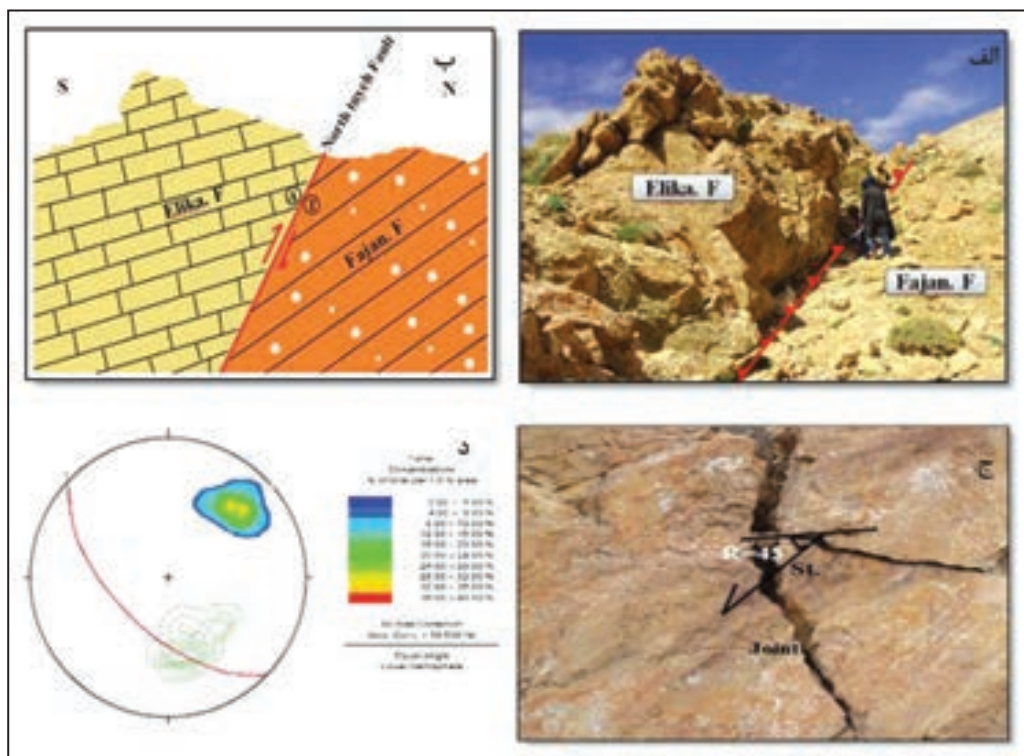
شکل ۷-الف) تصویر ماهواره‌ای گسل صبور و نمایش جایه‌جایی چپ بر آبراهه‌ها در امتداد خطوط گسلی (برگرفته از Google earth);  
ب) رانده شدن سازند شمشک (ژوراسیک) روی رسوبات کواترنری؛ ج) تصویر صحراوی از جایه‌جایی چپ بر آبراهه در مسیر گسل صبور.



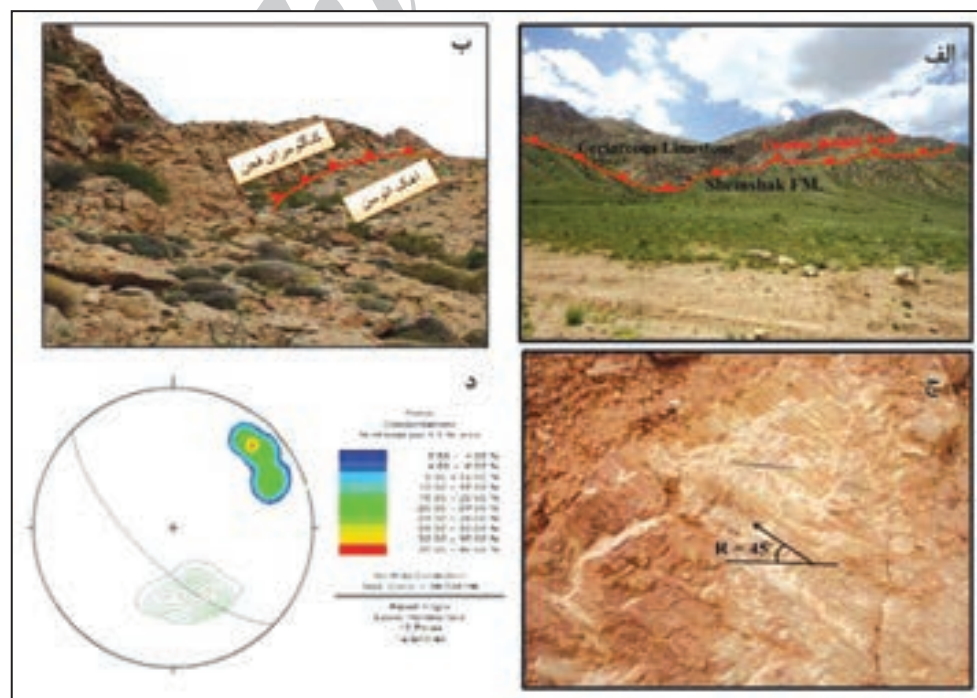
شکل ۸- مقطع عرضی نمادین رسم شده از سه گسل میلا، مهتاب و صبور.



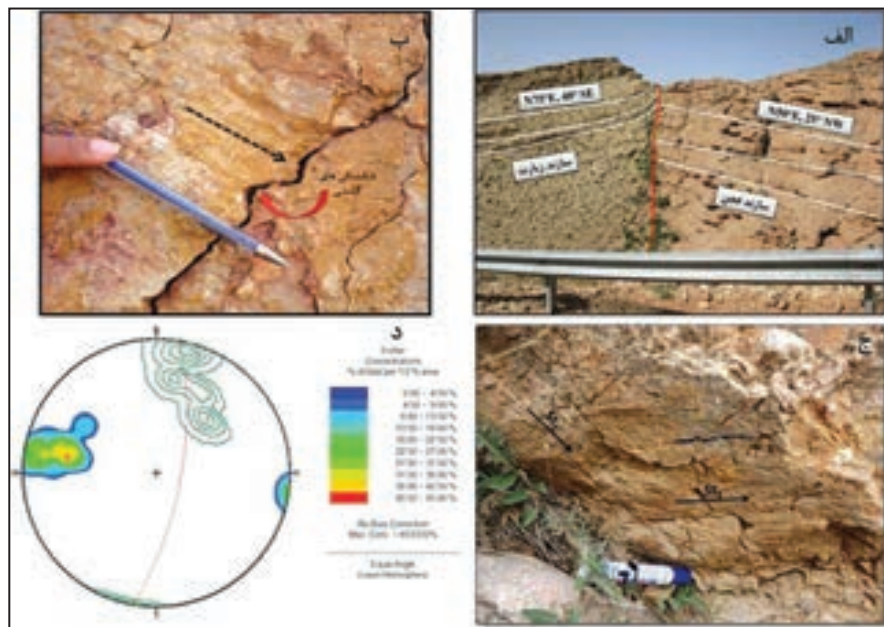
شکل ۹- تصویر ماهواره‌ای برگرفته از Google earth که جایه‌جایی امتدادر گسل‌های فجن و کرتاسه در اثر عملکرد گسل شمال توبه روی آن نشان داده شده است.



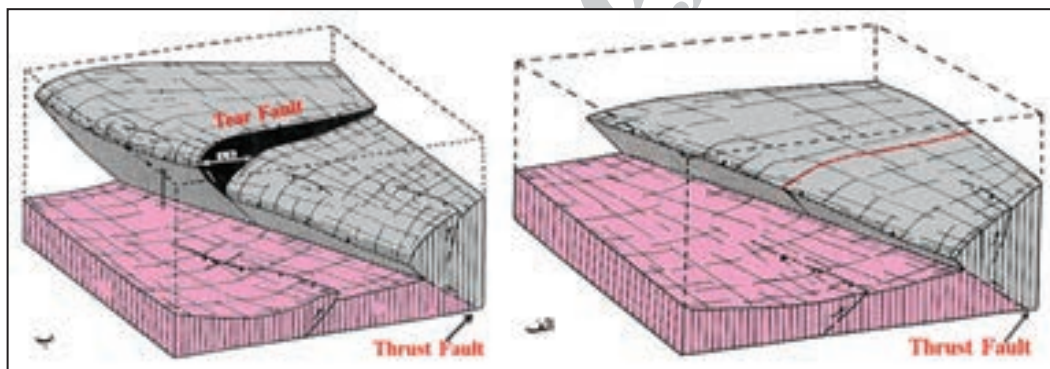
شکل ۱۰-الف) نمایی از سطح گسل شمال تویه در نقطه A (مراجعه شود به شکل ۷) که رانده شدن سازند الیکا (تریاس) روی سازند فجن (پالئوسن) را نشان می‌دهد؛ ب) برشی نمادین از سطح گسل شمال تویه از تصویر الف؛ ج) تصویری از سطح گسل در فرادیواره که خش لغز و اثر شکستگی کششی عمود بر آن را نشان می‌دهد؛ د) نمودار کنتوری از قطب داده‌ها که روند میانگین و چیره  $58^{\circ} \text{SW}$ ,  $58^{\circ} \text{W}$ ,  $46^{\circ} \text{N}$  را برای گسل شمال تویه نشان می‌دهد؛ کنتورهای سبزرنگ متعلق به موقعیت میانگین خراش‌های گسلی ( $39^{\circ}/165^{\circ}$  هستند.



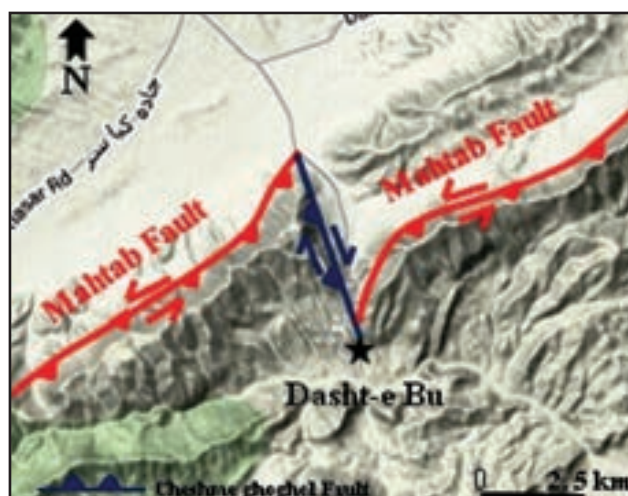
شکل ۱۱-الف) رانده شدن آهک کرتاسه روی سازند شمشک توسط گسل چشمۀ قفل (نگاه به سوی جنوب باختر)؛ ب) برشی شدن کنگلومرات فجن در فرادیواره گسل؛ ج) خراش‌های گسلی با ریک ۴۵ درجه و پله‌های سطح گسل را فردیواره گسل چشمۀ قفل؛ د) استرینوگرام داده‌های ساختاری گسل چشمۀ قفل روند چیره  $45^{\circ} \text{SW}$ ,  $70^{\circ} \text{E}$ ,  $45^{\circ} \text{S}$  را برای این گسل نشان می‌دهد.



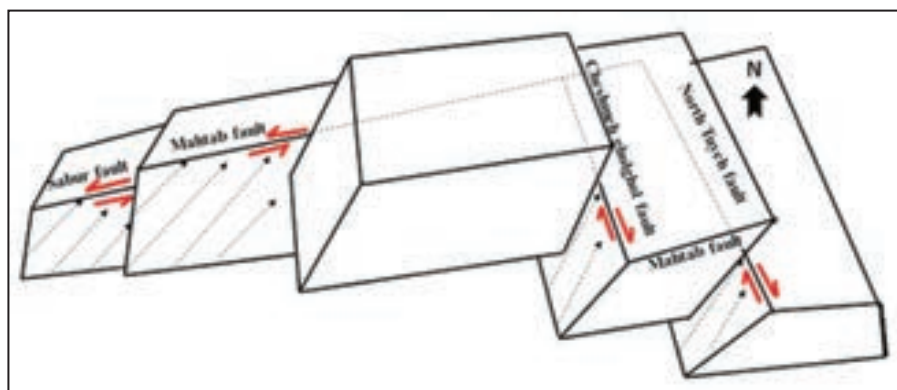
شکل ۱۲- (الف) قرائیری سازنده فجع و زیارت با موقعیت‌های ساختاری مختلف، در کنار یکدیگر توسط گسل دشت‌بو؛ (ب) اثر شکستگی‌های کشنی که عمود بر خراش‌های گسلی قرار گرفته‌اند؛ (ج) حضور دو دسته خراش گسلی روی سطح گسل دشت‌بو (خراش‌های افقی از نظر سنی جوان‌تر از خراش‌های مورب هستند؛ د) نمودار هم‌تراز قطب صفحه‌های گسلی که روند چیره ۴۹°/۱۶۰° را برای این گسل نشان می‌دهد؛ میانگین کنتور خراش‌های گسلی به صورت  $15^{\circ} \text{ N}, 72^{\circ} \text{ E}$  است.



شکل ۱۳- ارتباط هندسی و جنبشی گسل‌های پارگی با ورقه‌های راندگی. (الف) جابه‌جایی متفاوت در صفحه راندگی و تشکیل نقاط ضعف؛ (ب) ادامه جابه‌جایی و حرکت صفحه راندگی و تشکیل گسل پارگی (برگرفته از Donald (2013)).

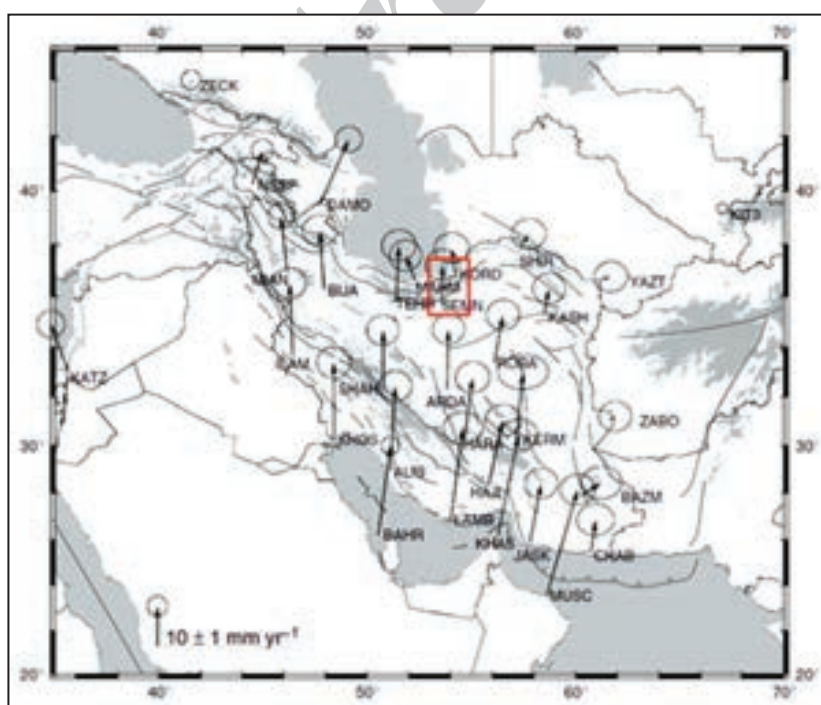
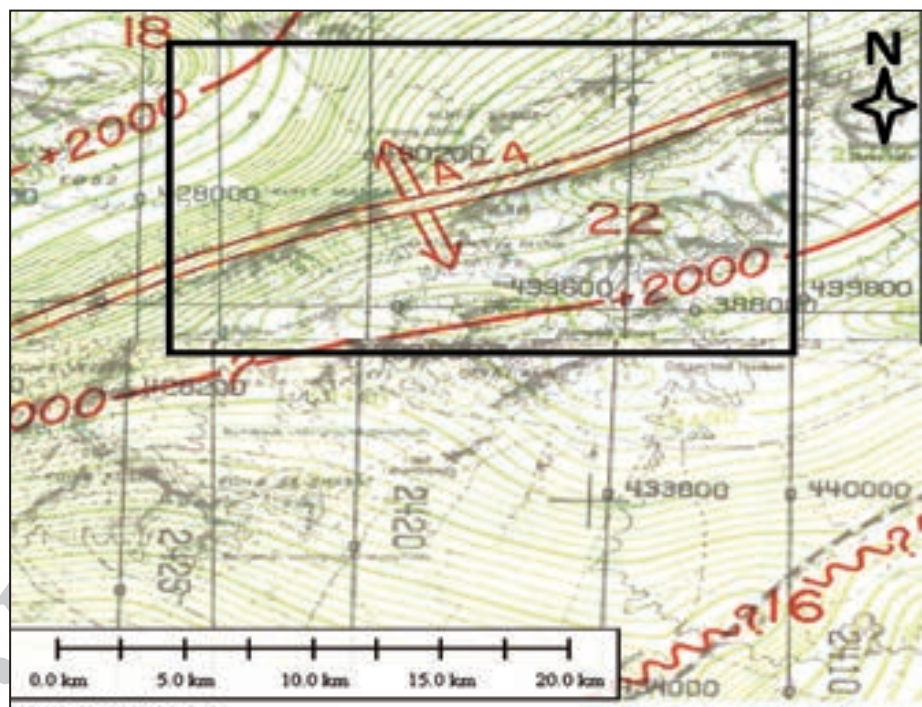


شکل ۱۴- جابه‌جایی ۴۷۰۰ متری راندگی مهتاب توسط گسل پارگی چشم‌های قلل.

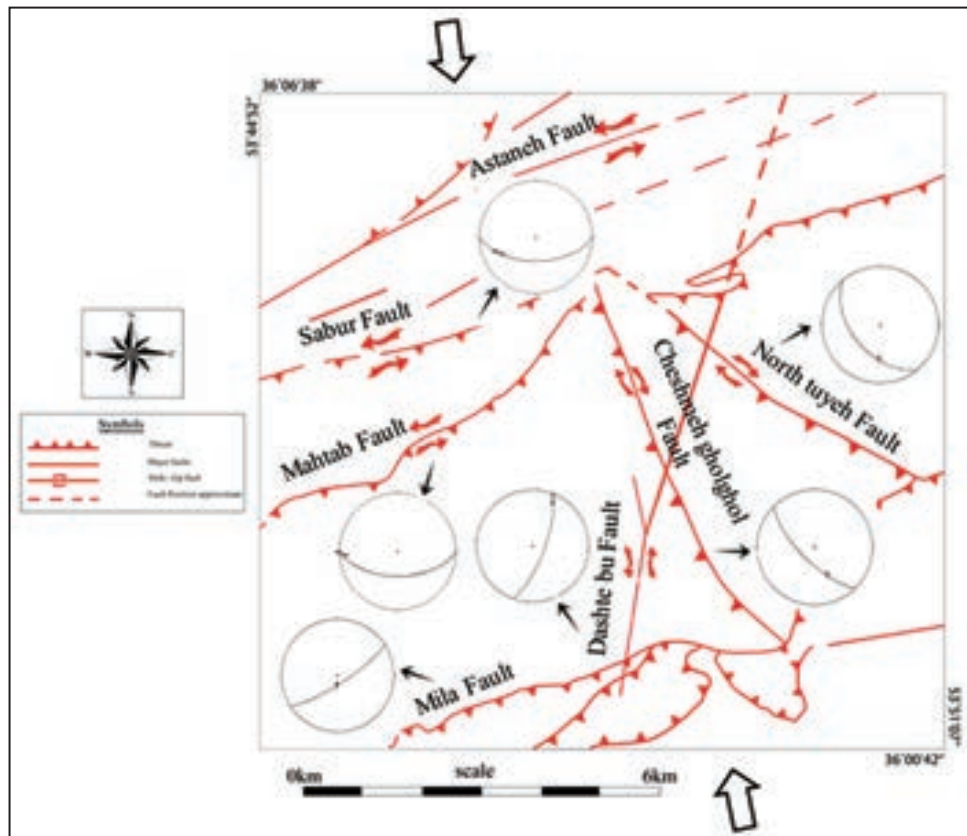


شکل ۱۵ - نمودار سه بعدی نشان دهنده ارتباط هندسی و جنبشی گسل‌های عرضی و گسل‌های اصلی منطقه و چگونگی جابه‌جایی در امتداد آنها؛ بردار مشکی سوی فشار را در پهنه مورد بحث نشان می‌دهد.

شکل ۱۶- نقشه هوماغناطیس برگه ۱:۲۵۰۰۰۰ سازمان زمین‌شناسی و اکتشافات معدنی کشور، (۱۳۷۰) که در آن منطقه مورد مطالعه در کادر مشکی نشان داده شده است.



شکل ۱۷- نمایش سو و نزخ لغزش در نواحی مختلف ایران (برگرفته از (Vernant et al. (2004)). منطقه مورد مطالعه در این پژوهش، بخشی از کادر سرخ رنگ است.



شکل ۱۸- نقشه گسل‌های منطقه به همراه نمایش جهت فشردگی بیشینه.

### کتابنگاری

- آفتاباتی، س.ع، ۱۳۸۳- زمین‌شناسی ایران، سازمان زمین‌شناسی و اکتشافات معدنی کشور، ۶۰۶ ص.
- اکبرپور، م.ر. و سعیدی، ا.، ۱۳۷۱- نقشه زمین‌شناسی کیاسر به مقیاس ۱:۱۰۰۰۰۰، سازمان زمین‌شناسی و اکتشافات معدنی کشور.
- امیدی، پ.، نوگل سادات، م. و قرشی، م.، ۱۳۸۱- بازسازی تنفس کواترنری بر اساس تحلیل لغزش گسل در نیمه جنوبی البرز خاوری، فصلنامه علوم زمین، شماره ۴۵-۴۹، صص ۴۸ تا ۶۳.
- سازمان زمین‌شناسی و اکتشافات معدنی کشور، ۱۳۷۰- نقشه هومگناطیس ۱:۲۵۰۰۰ ورقه بابل.
- قاسمی، م. ر.، ۱۳۸۷- پایه‌های زمین‌شناسی ساختمانی، سازمان زمین‌شناسی و اکتشافات معدنی کشور، ۳۲۰ ص.

### References

- Axen, G. J., Lam, P. S., Grove, M., Stocklin, D. F. & Hassanzadeh, J., 2001- Exhumation of the west central Alborz Mountains, Iran, Caspian subsidence, and collision-related tectonics. *Geology* 29: 559-562.
- Donald, S., 2013- Using freehand three-dimensional drawings to clarify and verify subsurface structural interpretations, in C. Knight and J. Cuzella, eds., Application of structural methods to Rocky Mountain hydrocarbon exploration and development: AAPG Studies in Geology 65: 1-13.
- Twiss, R. J. & Moores., E. M., 1992- Structural Geology W. H. Freeman and Company, 103-113.
- Vernant, Ph., Nilforoushan, F., Hatzfeld, D., Abbassi, M. R., Vigny, C., Masson, F., Nankali, H., Martinod, J., Ashtiani, A., Bayer, R., Tavakoli, F. & Chery, J., 2004- Present-day crustal deformation and plate kinematics in the Middle East constrained by GPS measurements in Iran and northern Oman. *Geophys. J. Int.*, 157: 381-398.

## Geometric and Kinematic Analysis of Transverse Faults in Dasht-e Bu Region (SW of Damghan)

E. Taheri <sup>1</sup>, P. Omidi <sup>2\*</sup> & A. Taheri <sup>3</sup>

<sup>1</sup> M. Sc., Faculty of Earth Science, University of Shahrood, Shahrood, Iran

<sup>2</sup> Assistant Professor, Faculty of Earth Science, University of Shahrood, Shahrood, Iran

<sup>3</sup> Professor, Faculty of Earth Science, University of Shahrood, Shahrood, Iran

Received: 2014 December 09

Accepted: 2015 May 10

### Abstract

In this research, the geometric and kinematic relationships between longitudinal and transverse faults in Dasht-e bu region (southwest of Damghan, eastern Alborz belt) were studied. All the longitudinal faults (Mila, Sabur and Mahtab faults) extend along NE-SW direction, whereas the transverse faults (Cheshmeh gholghol, north Tuyeh and Dasht-e bu faults) represent nearly N-S trending structures. The transverse faults are hangingwall tear faults which resulted from thrusting occurred on longitudinal faults. There is a geometric and kinematic relationship between the two groups of faults, so that the longitudinal faults can be considered to play the role of transfer faults for the transverse faults. Movement along the transverse faults (lateral ramps) is diminished toward their tips and is transferred to the longitudinal faults.

**Keywords:** Transverse fault, Longitudinal fault, Geometric and kinematic relationship, Lateral ramp, Dasht-e bu.

For Persian Version see pages 257 to 266

\*Corresponding author: P. Omidi; E-mail: pomidy@yahoo.com

Archive of S